

CH₃

$\text{CH}_3(\cdot)$

~~7255~~

(ΔfH)

32-IV-ТХВ

Медведев В.А.

Энталпия образования радикала мотила,

37 с.

CH_3 (ΔH_f) IV-666

1932

Ruedy, R.

Can. J. Research 1932, 7, 328-36

"Specific heat" . . .

C.A., 1933, 5

M.HD

CH₃ Bawn C.E.H. 1938

Trans. Far. Soc., 1938, 34, 598

I CH₂

CH₃

Stevenson, D. P.

1942

8780

111

J. Chem. Phys., 1942, 10, 291

Oscillations C-H \neq C-C.

Debye-Sommerfeld theory

methane $D(CH_3 - H) = 101 \text{ cm}^3/\text{amu}$

$D(C_2H_5 - H) = 96 \text{ cm}^3$ in $D(CH_3 - C_2H_5) =$

$= 82,6 \text{ cm}^3$ in $D(C_2H_5 - C_2H_5) = 22,6 \text{ cm}^3$

Alif

COAH

3

CH₃

B9P - 9479-IV | 1943

Andersen H.C

Kistiakowski g. B.

(HF³)

"J. Chem. Phys.", 1943, 11, 6-10

$\text{CH}_3(r)$

Bop 8130-IV | 1944

Kistiarowski ff.B
Arstdalen E. R.

(ΔH_f°)

"J. Chem. Phys.", 12, ⁴⁶⁹
~~12~~,
1944.

CH₃

C₂H

1845

Roberts J. S., Skinner H. A.

Trans. Far. Soc. ~~1845~~, 1845, 45, 335

Изучение геохимии углеродистых
газов и изучение разности в химическо-
мом составе углеводородов.

DHF

На основании измерений
самых изученных (точно 998%)
 $D(CH_3 - H) = 102$ [Kist. Br. 102±2; Beugh-
an, Polam. Nature 1940, 146, 685 102,5; Petot
102,5; Stevenson 101±4]

✓
15001

$D(C_2H_4) = 121$ [Cherton Bull. soc. chim. Belg.,
1893, 52, 26]

$\text{Hg}(\text{CH}_3)_2$
 CH_3

Hartree K., Pritchard H.O., Skinner H.A.,
Trans. Faraday Soc., 1950, 46, 1019

1950

$$\text{D}(\text{Hg}-\text{CH}_3) = 51 \mu\text{m}$$

$$\text{D}(\text{CH}_3 - \text{Hg}) = 6 \mu\text{m}$$

$$\text{D}(\text{C}_6\text{H}_5-\text{Hg}) = 63,1 \pm 2,5$$

$$\text{D}(\text{H}_3\text{C}-\text{HgBr}) = 60,7 \pm 2,6$$

$$\text{D}(\text{H}_3\text{C}-\text{HgI}) = 59,0 \pm 3,3$$

$$\text{D}(\text{Hg}-\text{C}_6\text{H}_5) = 57,1 \pm 4 \mu\text{m}$$

Do

NMR

me-32

1950

CH₃

Szware M.

Мерг

Chem. Rev., 1950, 47, 25

изложил определение энергии гидратации
одного иона в воде методом
исследования

$$\mathcal{D}(\text{CH}_3-\text{Cl}) = 74$$

$$\mathcal{D}(\text{CH}_3-\text{Br}) = \sim 68$$

$$\mathcal{D}(\text{CH}_3-\text{H}) = 101 \pm 1$$

Rev. Nucl. XII, 51.

Oncostoma Dr. Will Do a cop 113
Muscaracrum nego, no corporal Dorsale-
ally no E_1 ($E_2 = 0$) parot Do.

CH_3 (ΔF_f , S)

JV-524

1951

Bryant W.M.

J.Polymer Sci., 1951, 6, 359-70

Free energies of formaftion of
hydrocarbon free radicals.I. Application
to the mechanism of polythene Synthesis

C.A., 1951, 5015h

10, μ

Cit₃

1951.

Field & F.H.

20

1690 - 550 - 11V

p. 793.

A new calculation
of the Latent Heat of
Sublimation of Carbon

~~CH₃~~ Hildenbrand L. G., Kiermetrich M. L.¹⁵⁵⁾
~~D(CH₃NO₂)~~ J. Chem. Phys., 1951, 19, 38)

Изучалось термическое разложение
нитротетрахлорида. Определено что
весь процесс состоит из двух
шагов C-N связи в D(CH₃-NO₂) = 52 к.

I (CH_3 ; C_2H_5) 543

1951

Stevenson D.P.

Discussions Faraday Soc. 1951, No. 10, 35-45

"Ionization and dissociation by electro-
nic impact. Ionization potentials and
energies of formation of sec-propyl

M, 16

Vop

| C.A. 1952, 3339 h

and tert-butyl radicals. Some
limitations of the method."

1951

 CH_3 CH_2

Stevenson D. P.

Disc. Faraday Soc., 1951, 10, 110
(Precursors)

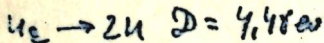
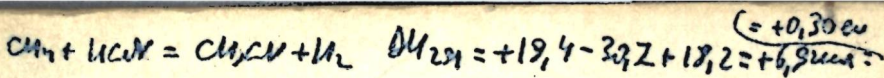
Wingrenne McDowell, Warren

 $D(\text{CH}_3-\text{CH}) - D(\text{H}-\text{CH}) = +0,24 \text{ eV}$ изучено
 в близком приближении с учетом
 на оценке величины изменения
в величинах связи с $\Delta H_{298}^{\circ} \text{ CH}_3, \text{CH}$.

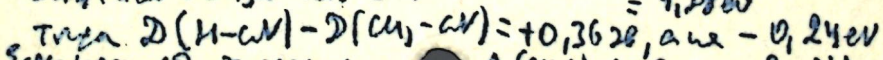
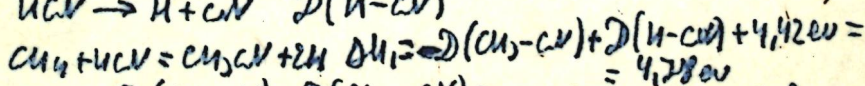
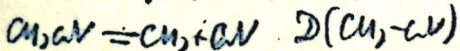
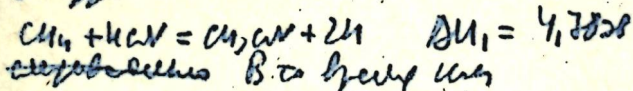
$$\Delta H = +18,4 \quad ; \quad \Delta H_{298}^{\circ} \text{ HCH} = +30,7 \text{ "}$$

$$\text{CH}_3 \Delta H_{298}^{\circ} = -18,2 \text{ . Тогда:}$$

(беск)



so we get



Estimated error of measurement
approx 15,3 m.s.Douelle, no $D(\text{H-CN}) - D(\text{CH}_3\text{-CN}) = +0,29 \text{ eV}$,
because correction is taken into account.



550-IV

CH₃ (ΔH⁻)

1952

McDowell C.A., Warren J.W.
Trans. Faraday Soc., 1952, 48,

1084-93

Ionization and dissociation of
cyanogen and methyl cyanide by electron
impact

C.A., 1953, 6761b

H0

1352

Ch₃

Mortimer

Pritchard

Schnuer

T.F.S., 1952, 48, 220

Al₂Si₃

= *32.6%

Фурбиз А.М., фрот А.В. | 1953

$\text{CH}_3, \text{CH}_2,$
 CH и C_2

Ут. Записки НГУ, том. 164, 129
сразу же после химии, 1953 г.

Строение, частоты нормальных
колебаний и термод. функции
свободных радикалов
 CH_3, CH_2 , этилена, метилена
метана и дикарбонов

CH_3 - имеет либо плоскую структуру, либо ~~лишь~~ не имеет.
отличается от плоской.

CH_2 - имеет симметрическое составление (2A_1) с энергией б 1400

CH_3 - плоская структура $I\ \bar{I}\ I = 53,92 \cdot 10^{-120} \text{ э}^3 \text{ км}^6$,
 $\tilde{\sigma} = 6$ 2A_1 , $g_c = 2$; $\nu_{\text{ши}} = 112,72$, то $\Delta\phi = \frac{1,388}{1,377}$
 $\nu_1 = 2923$
 $\nu_3 = 3025$

$$\nu_4 = 1602$$

$$\nu_2 =$$

CH₃

Majury T.G., Steacie E.W.

1953

Div. Far. Soc. NH, US

Реакции ненасыщенных углеводородов
изоинициатором бисофурилена.

1554

CH₃C₂H₅

димера
акрилового
перехода

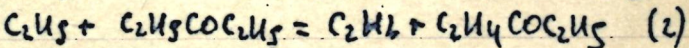
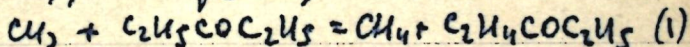
Ausloos P., Steacie E.W.R.

Canad. J. Chem., 1954, 32, № 6, 593.

Перенос инициатора изотактическим

с димером кетонов

изучено ранее



$t = 25-160^\circ$, $P_{\text{C}_2\text{H}_5\text{COCH}_2\text{H}_5} = 15-24,2 \text{ mm}$

Источник инициаторов: ацетобар и
ацетан

1 РУ. А 1955-36883

nepraea anomala

(1) 7;0 ± 0,2

(2) 7,6

Berlie M. R., Zeray D. J.
Берли, Рэй
1954

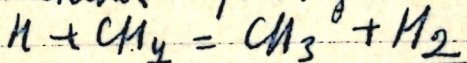
CH_3

IV

-52371V

Can. J. Chem., 1954, 32, 650-9

Экспериментальная
кинетика реакции



экспериментальная кинетика образования радикала метана была
изучена при различной температуре в диапазоне от 163° до 183°
результаты показали, что концентрация радикала метана в 44,9 ± 4,6%.

C.A., 1954, 11887 d

Разумов
СИЗ

Einstein B.H., Scheraga H.A.:

v. Artsdalen E.R.

J. Chem. Phys., 1854, 22, 28

Брекипрование ионогидроксидов. VII.

Брекипрование изобутане. Изучение
взаимодействия из кислотных групп
ионогидроксидов:

(с. C.A. 46, 2410 P)

Δ (c-n) в изобутане 8,9,6 см.

Alf tert- ионогидроксила разность

$$= 13,4 \text{ см}$$

C.A. 1854-561898

? СИЗ

Дан обзор обзур

1. Зернистое изображение бинарных ячеек при бинокуляции
2. Зернистое изображение C-II при 0°К
3. Текущее изображение погрешностей при 0°К, полученные из кинескопа бинокуляра.
4. Зернистые слои C-C при 0°К.

Данные, полученные изображением кинескопа бинокуляра, относящиеся к средним - зернистые слои обзур.

529-IV

CH₃ (ΔH_f)

1954

Gray P.

Proc. Roy. Soc. (London), 1954, A221,
462-79

The alkyl nitrates: chemiluminescence
in decomposition and related processes

C.A., 1954, 6261g

M

1554

CH₃

Lossing F.P., Gygold K.H., Henderson

Y.H. S.

Y. Ch. Ph., 1954, 22, 1489

изучение свободных радикалов мозговых
тканей-микроскопия. VI. Изучение физио-
химических изменений в нервных тканях мозга
краба, антилопы и белки, изучение
изменений мозгового тока
изучение нейроэнцефалического тока

CCNY

B- ρ_0	μ_{ion}	A $_{\text{av}}$	σ	sec.
CH_4	CH_3^+	$14,81 \pm 0,03$	$102,9 \pm 1,5$	$102 \pm 1,$
CH_3Y	$\begin{cases} \text{CH}_3^+ \\ \text{Y}^+ \end{cases}$	$12,15 \pm 0,03$ $12,89 \pm 0,1$	$50,7 \pm 1,5$ $56,3 \pm 2,5$	
CH_3Br	CH_3^+	$12,83 \pm 0,06$	$66,4 \pm 2$	
CH_3Cl	CH_3^+	$13,44 \pm 0,15$	$80,5 \pm 3$	
CH_3F	CH_3^+	$14,6 \pm 0,06$	107 ± 12	
CH_3OH	CH_3^+	$13,90 \pm 0,15$	$91,1 \pm 4$	
Приимка $\text{Y}(\text{CH}_3) = 9,35 \pm 0,03 \text{ sec}$				

CH₃

McDowell C.A.

1954

Trans. Far. Soc., 1854, 50, 423

Аризабетское королевство образовано
им из земель из Мекане и его производств,
при заселении Чуру

Мы заселили в первоначальном устройстве
населенных пунктов земель его производ.
принял королевский флаг - Kongow,
именно прозвал Абд, который заселен
но-заселенное, сопредельно населенными
землями, которые находятся на севере от реки.

Сбд

Бюджетные ассигнования Узбек (Бюджет ассоциал сизаси)

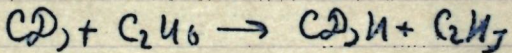
1955

CH₃

Wijnen M. H. J.,

J. Chem. Phys., 1955, 23, 1357

Peaks на израиваке разн -
коэф с изотопами в спектре



допр. аморбции 11,2 \pm 0,3 см⁻¹

T \approx 500^{\circ}K

сбачу

Эрхардт, Осбергэз, 1956

CH_3

Гауберт (Erhardt H. u dr.)

Phys. Verhandlungen,

образование 1956, № 6, стр. 181

Масс-спектр

Масс-спектр углеводородов
при высоких T-pax

(образование радикалов CH_3)

до $T-p 1200^{\circ}\text{C}$)

Секунд

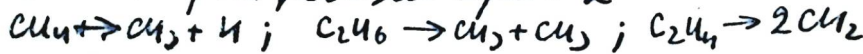
первая группа, перво наименее.

Beltrame P., Simonetta M.

135x

CH₃ Rend. ist. lombardo sci., Pt I,
CH₂ Classe sci. mat. e nat., 1951, 91, 845
две ряда атомов и звезды
представляют CH₃ и CH₂
как "ненефные" группы. Их можно
диф ("c.t. 46, 1880d) в применение к -CH₃
и =CH₂ если положить не только
коррелят между атомами, но
также для - и между сдвигами.
C.t. 53, № 5, 3803c

ионе гексагональные и гексагональные соединения.
Типы. Для CH_2 имеются следующие типы
связей: простые между гексагональной и гексаго-
нальной (не имеющие), а для CH_3 - между
простыми (угол между $\text{H}-\text{C}-\text{H} = 120^\circ$). Равен-
ство углов между связями при 0°K



Общий метод вычисления делается в
эксперименте (Glockler, C.A.42, 109159)
последовательно 3 раза в ряду с постепен-
ным уменьшением в величине. Небольшой наклон
в зависимости от величины  может быть
принят.

IV-944-BP

1957

CD_3 , CH_4 , CD_3H , CH_3 , CD_4 , CH_3D (Kp)

Dainton F.S., Irvin K.J., Wilkinson F.

Trans. Faraday Soc., 1957, 53, N 9,
1204-1207 (ann.)

Calculation of equilibrium ...

PK., 1958, N 21, 7000

μ_{10}

CH_3

CH_3

Gazith M., Szwarc M.

1952

JACS, 1952, 74, 3333

Присоединение ионов Cu^{+} к
ионам CH_3^+ и C_2H_5^+ .

Исследовано присоединение CH_3^+ к
ионам Cu^{+} . Ион CH_3^+ в
результате присоединения образует
комплекс CH_3Cu^{+} , который
имеет стабильность, сравниваемую
с комплексом $\text{C}_2\text{H}_5\text{Cu}^{+}$.

Однако

(бес)

а) присоединение CH_3^+ к ионам Cu^{+} не происходит, а
присоединение C_2H_5^+ к ионам Cu^{+} происходит.

результатов со временем и динамикой, со сдвигами, сдвигами, разбросом в результатах. Следующим образом сдвиги С≡С по сравнению с этими же С≡С являются результатом более интенсивных. При этом в более первичной стадии С≡С выявляются сдвиги в соотв. рез. процесса присоединения, исчезновение которых в 20% времени, имеющие большую энергию ассоциации. Следующий процесс, имеющий практический интерес, сдвиг С≡С приходит к дальнейшим изменениям ассоциации по сравнению с первичной конфигурацией более поздней стадии С≡С.

CH₃

Long L.H.

1952

J. Ph. Ch., ISSN, 61, 821

Рождение и вымирание переходного
в энергии антибактериального
вещества: CH₃+H₂ \rightleftharpoons CH₄+H

дисперсия

Академик

Иванов

с H₂

Сообщ

CH_3 (ΔH)

IV-432-BP

1957

Moseley F., Robb J.C.

Proc. Roy. Soc., 1957, A243, N 1232,
119-129, 130-142 (~~and~~)--

A method for the direct determination
of the rate constants for radical-
radical interactions in the gas phase. I
The technique of investigation. II. The
rate constant for the recombination of
methyl radicals

PX., 1958, N 21,70078

M

1357

CH₃

Ausloos P., Paulson J.

J. Ph. Ch., 1858, 62, 501

Ректификационный пограничный
с ложкою на поверхности
которого в непрерывно

Kunesius

пограничный линейно-изогнутый
и прозрачный H₂O

498- $\frac{V}{K_p}$ Z } (H, H₂, CH, CH₂, CH₃, CH₄, C₂H₂, C, C₂) 1958

Kroepelin H., Neumann Kl.-K., Winter E.
Abhandl.Braunschw.Wiss.Ges., 1958,
IO, 166-194 (neu.).

Thermodynamische Funktionen und
Hilfswerte zu ihrer Berechnung fur
Kohlenstoff und Wasserstoff sowie einige
ihrer Verbindungen fur den Temperatur -
bereich 1000 bis 500000k.

PK, 1959

48704.

M, 10



verb. op. z.
p. 166-179 37

IV-499-B9

F, Kp (CH, CH₂, CH₃, CH₄, C₂H₂,

1959

C₂H₄)

Kroepelin H., Winter E.

Thermodyn. and Transp. Properties of
Gases, Liquids and Solids. N.Y.-Toronto-
London, McGraw-Hill Book Co., Inc.,
1959, 438-452 (amw.)

Equilibria in C+H₂ and C+2H₂ systems
at temperatures between 1000° and
6000°K

PX., 1960, 25675

JU

$\text{I}(\text{CH}_3)$

Clarice E. W.C.
McDowell C.A.

1960

Proc. Chem. Soc., 1960, 69.

I CH_2

CH_3

Padgett et al., Krauss M. B60

J. Chem. Phys., 1960, 32, 189

III CH_2

1961

8043 - IV

CH_3O , CH_3 (t.d.f.)

OP_3 (t.d.f.)

OC_2H_5 (t.d.f.)

Jain D.V.S., Kapoor H.M.

Proc. Nat. Inst. Sci. India, 1961,

A27, N 2, 101-107

Thermodynamic properties of ...

1961

CH₃, C₂H₅, Steiner B., Giese C. F., Ingraham M. G.

C₃H₇, C₄H₉ J. Chem. Phys., 1961, 34, 189

DHF ~~стабилизирующие агенты. Дисперсионные, вспомогательные молекулярные понятия.~~

C₃H₈ - 50.

I.

Задачи

564-IV

1962

CH₃ (ΔH_f)

Bernstein H.J.

Trans. Faraday Soc., 1962, 58, N 12,
2285-2306 (ann.)

Bond energies in hydrocarbons

Pd., 1963, 8D39

M, H

1962

7539-10

, Hf (CH, CH₂, CH₃, C₂H)

Cowperthwaite M., Bauer S.H.

J. Chem. Phys., 1962, 36, N 7,
1743-1753

Estimation of molecular ...

J, M

CH₃

Mortimer C.T.

1962

ΔH Oxford-London-New York-Paris,
Pergamon Press, 1962, XII (ann.)

Reaction heats and bond strengths.
Based on a series of lectures given
to postgraduate students at a Uni-
versity of Keele, 1960.

(.000003)



1962

Pedley J.B.

 CH_3 CH_2 CH ΔH_f

Heats of formation and bond angles of molecules and radicals. II. Hydrocarbon radicals.

Trans. Faraday Soc. 58, 23

C.A. 1962, 57, 6

6695g.

(All. CH_4) I (1962)

3828

-IV

1962

CH_2 ; NH_2 ; CH_3 ; HCO ; HNO ; BO_2 ;
 NCO ; N_2O^+ ; NO_3^- (spectr)

Ramsey D.A.

Proc. Colloq. Spectros. Intern., 10th,
Univ. Maryland, 1962, 583-96

J

Optical spectra of ...

1963

 CH_3

Corbett P., Tarr & M.,
Whittle 8.

$$\delta_{298} (\text{CH}_3-\text{H}) = 103$$

Tr. Far. Soc., 1963, 59, 1609.

ΔH_f . Бромированиe α -фуросо-
наполи и цетана в за-
золой фазе.

CH_3

δH

HDO

Oppenheimer 16000

F. A. Elder 1964
et al

Final report

January 1964

cup 37-41

CH₃

(209)

IV-305-11 1964

16 Б395. Энтропии алкильных радикалов. Риг-
пелл J. H., Quinn C. P. The entropies of alkyl radicals.
«J. Chem. Soc.», 1964, Oct., 4049—4052 (англ.)

Вычислены стандартные энтропии ΔS метил-, этил- и
н- и изопропил-радикалов в диапазоне т-р 200—1000° К
при 1 атм, в состоянии идеального газа. Описана методика расчета ΔS . Результаты расчета для CH₃ и C₂H₅ согласуются с литературными. Предложена упрощенная методика расчета ΔS для радикалов с произвольным числом атомов С и обсуждаются сделанные при этом допущения о структуре молекул, а также о характере и частотах колебаний атомов и групп. Погрешность расчета ΔS для углеводородов с числом атомов С>3 менее 1 энтр. ед.

С. Огородников

х. 1965. 16



CH₃

Tsueda S. et al.

1964

SH_f

J. Chem. Phys., 41, 3,
689.



(C₆₀ C₆₀)II⁻

1965

The thermochemistry of the gas phase equilibrium $I_2 + CH_4 \rightleftharpoons CH_3I + HI$ and the heat of formation of the methyl radical. David M. Golden, Robin Walsh, and Sidney W. Benson (Stanford Res. Inst., Menlo Park, Calif.). *J. Am. Chem. Soc.* 87(18), 4053-7(1965)(Eng). With the aid of a Cary spectrophotometer, modified for use with high-temp. gas systems, it was possible to obtain the equil. const. for the reaction $CH_4 + I_2 \rightleftharpoons CH_3I + HI$ at 605, 630, and 667°K. From the measured value of 630°K. of $K_{eq} = 2.32 \pm 0.09 \times 10^{-4}$ and the known values, $\Delta S^\circ_{298} = 3.64$ gibbs/mole and $\Delta Cp^\circ = +0.63$ gibbs/mole, the heat of reaction at 298°K. is $\Delta H^\circ_{298} = 12.56 \pm 0.13$ kcal./mole. Combining this with known values of the heats of formation of CH_4 , I_2 , and HI yields the value $\Delta H_f^\circ_{298}(CH_3I(g)) = 3.28 \pm 0.16$ kcal./mole. These results together with the kinetic parameters of Flowers and Benson (*CA* 58, 6231c) lead

CA 1966, 64, 2
1418 b, c

to $\Delta H_f^\circ_{298}(\text{CH}_3(g)) = 34.1 \pm 0.5$ kcal./mole, $\Delta H^\circ_{298}(\text{CH}_3\text{-H}) = 104.1 \pm 0.5$ kcal./mole, and $\Delta H^\circ_{298}(\text{CH}_3\text{-I}) = 56.3 \pm 0.5$ kcal./mole, in good agreement with recent data on these quantities.

RCJC

CH_3J ($K, \Delta H_f^{\circ} 298$) $\bar{N}-\text{H} 889$

CH_3 ($\Delta H_f^{\circ} 298$) 1965

$\text{CH}_4 (D)$

Golden D. H., Walsh R., Benson
J. W.

J. Amer. Chem. Soc., 1965, 87 (18),
4053-7

ll

ec56
spine

CH_3

ΔH_f

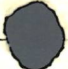
B90+83512-110

Chepko W. A.

J. Chem. Phys.,
48, N5, 2337

1968

Масс-спектро-спектро-
ическое изучение гомо-
изотопной смеси.



(All. Chely) III

1968

CH₃

HF

Y; (A.P.)

32557y Ionization potentials of molecules and free radicals and appearance potentials by electron impact in the mass spectrometer. Williams, James M.; Hamill, William H. (Univ. of Notre Dame, Notre Dame, Indiana). *J. Chem. Phys.* 1968, 49(10), 4467-77 (Eng). An improved method of measuring ionization efficiency (I.E.) curves by the retarding potential difference technique in the mass spectrometer (to ~one ion/sec. at onset) gives ionization potentials which agree within ± 0.02 ev. of spectroscopic values and ± 0.03 ev. of photoionization. Ionization potentials have been measured for the following free radicals (ev.): CH₃, 9.87; C₂H₅, 8.34; C₂H₇, 8.13; iso-C₃H₇, 7.57; C₄H₉, 8.01; C₂H₅O, 9.11; C₃H₇O, 9.20; iso-C₃H₇O, 9.20; C₄H₉O, 9.22. Appearance potentials V have been measured for R⁺/RX where R = CH₃, C₂H₅, C₂H₇, C₄H₉ and X = H, Cl, Br, I, and OR; also for RO⁺/ROX where R = C₂H₅, iso-C₃H₇, C₄H₉.

(+5) III

(+5) I

☒

C.I.A. 1968. YD. 8

and $X = H$, NO , and R ; also for I^+/C_4H_9I , $NO^+/EtONO$, $NO^+/BuONO$, and $C_3H_8D^+/CH_3CD_2CH_3$. Values of $\Delta H_f(R^+)$, $\Delta H_f(RO^+)$, $D(R-X)$, and $D(RO-X)$ (D is bond dissociation energy) are reported as well as electron affinities of NO , C_2H_5O , C_3H_7O , iso- C_3H_7O , and C_4H_9O . Whenever two or more independent measurements of V provide the same ΔH_f or D , agreement is satisfactory. The linearity of onsets does not correlate with photoionization efficiency curves according to present threshold theory. The "breaks" in I.E. curves do yield thermochem. consistent results.

RCJQ

CH₃

CH₃ + Br

1969 - 8356 + KHL

23 Б907. Абсолютные константы скорости для ради-
каль-молекулярных реакций в широком диапазоне тем-
ператур: $\text{CH}_3 + \text{DBr} \rightleftharpoons \text{CH}_3 + \text{Br}$. Термодинамика и
энтропия метильных радикалов. Gac Norman A.,
Golden David M., Benson Sidney W. Absolute
rate constants for radical-molecule reactions over a wide
temperature range: $\text{CH}_3 + \text{DBr} \rightleftharpoons \text{CH}_3\text{D} + \text{Br}$. The heat of
formation and entropy of the methyl radical. «J. Amer.
Chem. Soc.», 1969, 91, № 11, 3091—3093 (англ.)

В области т-р 608—1000° К исследована р-ция CH₃ и
DBr в поточной системе. Источник радикалов — распад
ди-1-бутил перекиси; основные продукты: CH₃D, ацетон,
CO₂, и Br₂. В условиях эксперимента C₂H₆ практически
не образуется. Константа скорости р-ции равна
 $10^{8.75} \exp[(-1.7 \pm 0.6)/RT] \text{ л}\cdot\text{моль}^{-1}\text{сек}^{-1}$. Эта величина
находится в соответствии с данными для р-ции Br + CH₄.
Вычисление теплоты образования дает значение
 $\Delta H_f^{\circ}(CH_3) = 33.9 \pm 0.7 \text{ ккал/моль}$ и для энтропии
 $S_f^{\circ}(CH_3) = 45.3 \pm 0.8 \text{ гиббс}\cdot\text{моль}^{-1}$.

Л. Русин

X · 1969 · 23

CH_3

BGP - ~~38~~ 3813-XIV

Warneck Peter

1971

"Z. Naturforsch"

(1971)

1971, 26a, N 12, 2047-57

pomonaerzacsus...

● (acii CH_2OH^+ ; T)

1973

CH₃

Booszor, Zlata. et al.

Chem. Ber. (Berlin)

1973, 86(3), 752-5.

Pi, Cpi

H_T = H₀

(see H; I)

Б90 XIV - 6870

1974

CH_3

CH_2

(ΔH_f)

5 Б1027. Энタルпия образования метильного и метиленового радикалов при фотоионизации метана и кетена. Dibeler V. H., McCullough K. E. Enthalpy of formation of methyl and methylene radicals by photoionization studies of methane and ketene. «Vacuum Ultraviolet Radiat. Phys. Proc. IV Int. Conf., Hamburg, 1974». [Oxford]—Braunschweig, 1974, 191—194 (англ.)

Энталпия образования метильного и метиленового радикалов при фотоионизации CH_4 и CH_2CO изучена в зависимости от т-ры с помощью сопряженных УФ-мо-

+1



Х

1976 N5

нохроматора и масс-спектрометра. При понижении т-ры от 298 К до 115 К кривая выхода фотоионов смещается в сторону более высоких энергий, при этом пороговый участок кривой сводится к экспоненциальному виду, не давая таким образом доказательств существования процесса образования ионной пары, т. е. $\text{CH}_4 + h\nu \rightarrow \text{CH}_3^+ + \text{H}^-$. Последнее подтверждается отсутствием сколько-нибудь заметного сигнала H^- в этой области длин волн. ΔH_0° (обр. CH_3), рассчитанная по термохим. ур-ниям и энергии ионизации метила, составила $35,5 \pm 0,5$ ккал/моль. Кривая выхода CH_2^+ из CH_4 практически не зависит от т-ры, причем ΔH_0° (обр., CH_2) = $93,7 \pm 0,5$ ккал/моль. Кривая выхода CH_2^+ из CH_2CO сдвигается в сторону более высоких энергий при понижении т-ры от 298 до 120 К, ΔH_0° (обр., CH_2) = $93,5 \pm 0,4$ ккал/моль. Точность определения энталпии по данному методу в 5—10 раз выше, чем в кинетич. измерениях и по данным электронной бомбардировки.

В. П. Ермишкин

1974

CH₃

15 Б1051. Димеризация малых радикалов. Zahradník R., Slanina Z., Čáslavský P. Dimerization of small radicals. «Collect. Czech. Chem. Commun.», 1974, 39, № 1, 63—70 (англ.)

(диф)

Статистическим методом при 298° К вычислены энталпии образования радикалов CH₃, NH₂ и HCO, продуктов их димеризации, относит. энталпии $H_{298}^{\circ} - H_0^{\circ}$ этих радикалов и соединений, а также энталпии р-ций димеризации при 298° и 0° К. Результаты табулированы и сопоставлены с эксперим. данными. Вычислены и табулированы значения $\lg K_p$ р-ций димеризации указанных радикалов в интервале 100—2500° К. Описана методика расчетов.

И. Васильев

x. 1974 N 15

+2

☒

CH₃

Bsp XIV - 7034 1975

C₂H₅

9 Б839. Применение метода ППЛ для стандартных термодинамических характеристик органических соединений. 15. Теплоты образования алифатических ионов карбония и ионизационные потенциалы соответствующих свободных радикалов. Istomin B. I., Lipovich V. G. Application of PPL to standard thermodynamic characteristics of organic compounds. 15. Formation heats of aliphatic carbonium ions and ionization potentials of corresponding free radicals. В сб. «Реакц. способность орган. соедин.» Т. II. Вып. 4. Тарту, 1975, 933—949 (англ.)

(ΔH_{f'})

Величины ΔH_{298}^0 образования газ. карбониевых ионов
CH₃, C₂H₅, н-C₃H₇, изо-C₃H₇, н-C₄H₉, изо-C₄H₉,

+1

X 1976 № 9

втор- $C_4H_9^+$, трет- $C_4H_9^+$ рассчитаны на основе лит. данных величин ионизац. потенциалов J и теплот образования соотв-щих радикалов. Расчет произведен с использованием корреляц. зависимости между ΔH_{298}^0 (обр.) ионов и величинами J радикалов, основанной на модели Ф-взаимодействия. Сравнение эксперим. лит. данных и расчетных величин ΔH_{298}^0 (отр.) ионов не подтверждает гипотезы о гиперконъюгативной стабилизации как алкильных катионов, так и соотв-щих радикалов. Сообщ. 14 см. РЖХим, 1975, 1Б702. По резюме

CH₃

1975

C₂H₅

OH

CCl₃

CF₃

(ΔH_f)

9 Б845. Корреляционный метод оценки энталпии образования свободных радикалов из энергий диссоциации связей. Istomin B. I., Lobanov A. D. The correlation method of estimation of formation enthalpies for free radicals from bond dissociation energies. В сб. «Реакц. способность орган. соедин.» Т. II. Вып. 4. Тарту, 1975, 951—962 (англ.)

На основе лит. данных с использованием соотношения $D^\circ(X-Y_i) - D^\circ(H-Y_i) = [\Delta H_f^\circ(X) - \Delta H_f^\circ(H)] -$

X 1976 № 9



44

с засеч. ст. сг.

$-[\Delta H_f^\circ(XY_l) - \Delta H_f^\circ(HY_l)]$, где D° — энергия диссоциации соответствующей связи, а ΔH_f° — энталпия образования указанного компонента, методами корреляц. и регрессионного анализа на ЭВМ определены станд. величины теплот образования свободных радикалов $\underline{CH_3}$, $\underline{C_2H_5}$, изо- C_3H_7 , трет- C_4H_9 , $\underline{HO\cdot}$, $\underline{CCl_3}$, $\underline{CF_3}$, $\underline{C_6H_5}$, $\underline{C_6H_5CH_2}$, $\underline{CH_2=CHCH_2}$, составившие при $298^\circ K$ соотв. $33,06 \pm 0,32$, $24,86 \pm 0,72$, $17,48 \pm 1,77$, $7,83 \pm 3,08$, $9,73 \pm 0,69$, $13,93 \pm 1,17$, $-112,79 \pm 0,24$, $72,09 \pm 0,55$, $45,56 \pm 0,20$, $38,21 \pm 2,44$. Полученные значения согласуются с величинами, рассчитанными на основе корреляц. соотношения $\Delta H_f^\circ(R^1R^2R^3C.) - \Sigma \Delta H_f^\circ(R^iH) = f(\phi^i)$: Найденные величины сравниены с лит. данными и являются более надежными, чем имеющиеся в литературе.

Ж. Василенко

CH_3

paguicid

(ΔH_f)

OIT. 4824

1975

Kerr J. A., et al.

Handbook Chem. Phys.,
55 th. Ed., 1974-75.

CH_3

*45-9482 1975

C_2H_5

μ^+
 теплоста
 образов (ΔH_f)
 эн. связи (D)

23 Б51. Электростатика и химическая связь. III.
 Свободные радикалы. Luria Menachem, Benson
 Sidney W. Electrostatics and the chemical bond. III.
 Free radicals. «J. Amer. Chem. Soc.», 1975, 97, № 12,
 3342–3345 (англ.)

Предложенная ранее электростатич. модель (см. пред.
 реф.) для расчета теплот образования (TO) и диполь-
 ных моментов (ДМ) углеводородов распространена на
 случай углеводородных радикалов. Рассчитанные значе-
 ния TO и энергий связей C—H метильного, этильного,
 неопентильного и изомерных пропильных и бутильных
 радикалов отличаются от опытных значений максималь-
 но на 0,7 ккал/моль, что по порядку величины отвечает
 точности эксперим. измерений. ДМ этильного и изо-
пропильного радикалов оценены в 0,46 и 0,28 D соот-
ветственно.

В. Л. Лебедев

X1975 N 23

№ 43 М. (дип. мом.)

CH_3

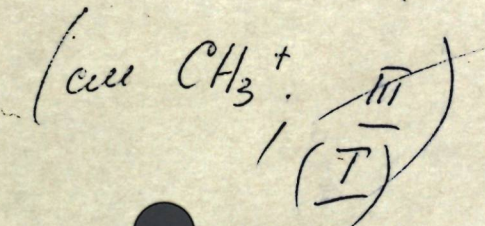
McCullough R. E.

1976

"J. Chem Phys" 1976, 64,

NH, 4445-4450 (amu)

shf



*5 - 15930

CH₃

* 43-15578

1976

Bischof P.

(ΔHF)

J. Amer. Chem Soc
1976, 98, N^o 22 6844-49

CH_3

омера 5890

1977

таблицы

н. дн.

сб - б .

Watson R.T.

J. Phys. and Chem Ref. Data,
1977, 6, 916-17.

1979

CH₃(ΔH_f)

16 Б829. Изучение кинетики и равновесия процесса $\text{Cl} + \text{CH}_4 \rightleftharpoons \text{CH}_3 + \text{HCl}$ при 298 К и очень низком давлении. Термодинамика образования радикала CH₃. Baghal-Vayjooee Mohammad H., Colussi Agustin J., Benson Sidney W. The very-low-pressure study of the kinetics and equilibrium: $\text{Cl} + \text{CH}_4 \rightleftharpoons \text{CH}_3 + \text{HCl}$ at 298 K. The heat of formation of the CH₃ radical. «Int. J. Chem. Kinet.», 1979, 11, № 2, 147—154 (англ.)

Из измерений конц-ий реагирующих в-в в процессе пиролиза при очень низком давл. определены константа скорости р-ции $\text{Cl} + \text{CH}_4 \rightleftharpoons \text{CH}_3$ (I) + HCl (1), при 298 К равная $(0,93 \pm 0,05) \cdot 10^{-13} \text{ см}^3/\text{моль}\cdot\text{сек}$, а также значение константы равновесия (1) равное $1,3 \pm 0,35$. С использованием лит. значений энтропий реагентов в (1) и полученных данных найдено значения ΔH° (обр. I, 298 K), составившее $35,1 \pm 0,15$ ккал/моль. Значение энергии диссоциации связи CH₃—Н, составившее в соответствии с полученными данными $105,1 \pm 0,15$ ккал/моль, согласуется с лит. данными. Ж. Г. Василенко

Х.1049N16

CH₃

Lemminkä 8384 | 1979

Houll F.A., et al.

(⁴Hf)

J. Amer. Chem. Soc.
1979, 101 (15), 4067 -74

CH₃

[Omnuck 12765]

1981

heroy G., Peeters D.,

J. Mol. Struct. 1981, 85,
133-152.

Kernas.

CH₃(z)

[Om. 21314]

1982

McMillen D.F., Golden D.M.;

Ann. Rev. Phys. Chem. 1982,
33: 493-532

DfH;

CH₃

1982

расчет
геометр.,
структур.

У5 Б67. Расчеты геометрии метильного радикала ограниченным и неограниченным методами Хартри—Фока. Pacansky J. Restricted and unrestricted Hartree—Fock calculations on the geometry of the methyl radical. «J. Phys. Chem.», 1982, 86, № 4, 485—488 (англ.)

Неэмпирическими методами ССП МО ЛКАО в различных базисах с использованием ограниченного и неограниченного формализмов проведены расчеты различных структур метильного радикала. Показано, что пирамидальность радикала, предсказываемая расчетами в малых базисах (типа ОСТ-ЗГФ) исчезает при расширении базиса.

И. Абронин

X. 1982, 19, N 15.

CH₃

1984

№ 16 Б4029. Кинетика реакций и термохимия этильного радикала. Период индукции в процессе пиролиза этана. Kinetics and thermochemistry of the ethyl radical. The induction period in the pyrolysis of ethane. Рисей.

Philip D., Wimalasena Jayantha H. «J. Phys. Chem.», 1984, 88, № 23, 5657—5660 (англ.)

Исследована кинетика пиролиза этана при 902 К кварцевом реакторе струевого типа, Пв к-рого предварительно обрабатывали конц. HNO_3 и дистиллированной H_2O ; конц-ия C_2H_6 в исходных газовых смесях составляла $1,8 \cdot 10^{-4}$ — $4,5 \cdot 10^{-3}$ М; время контакта 0,01—2,0 с; степень превращения C_2H_6 не превышала 0,2%. Наблюдаемый период индукции пиролиза интерпретирован авторами как время установления стационарной конц-ии этильных радикалов $\text{C}_2\text{H}_5^{\bullet}$ в системе. На основе известной кинетич. схемы пиролиза определены величины констант скорости нескольких

DHF_{d298}

x. 1985, 19, n 16

(1)

C₂H₅

р-ций: константа скорости р-ции $2C_2H_5 \rightarrow C_4H_{10}$ составляет $(9 \pm 2) \cdot 10^9$ л/(моль·с), константа скорости диспропорционирования $2C_2H_5 \rightarrow C_2H_6 + C_2H_4$ равна $(4 \pm 1) \cdot 10^9$ л/(моль·с). Оцененные константы скорости мономолек. р-ций $C_2H_5 \rightarrow C_2H_4 + H^\cdot$ и $C_2H_6 \rightarrow 2CH_3^\cdot$ зависят от давл. На основе полученных и лит. данных, а также вычисл. величин изменения энтропии оценены величины ΔH_f^0 для радикалов CH_3^\cdot и $C_2H_5^\cdot$, равные соотв. (147 ± 2) и (119 ± 2) кДж/моль.

А. Б. Малецки

НОВ

CR₃

C₂H₆

meprnog.

CB - 6a

42

C.A. 1982, 97, N 10

1982

97: 79964b Ideal gas thermodynamic properties of methyl, methyl-d₃, methane-d₄, ethyne-d₂, ethene-d₄, ethane-d₆, ethane, dimethyldiazene, and dimethyldiazene-d₆. Pamidimukkala, Krishna M.; Rogers, David; Skinner, Gordon B. (Dep. Chem., Wright State Univ., Dayton, OH 45435 USA). *J. Phys. Chem. Ref. Data* 1982, 11(1), '83-99 (Eng). Ideal gas thermodn. properties of formation for CH₃, CD₃, CD₄, C₂D₂, C₂D₄, C₂D₆, C₂H₆, CH₃N₂CH₃ and CD₃N₂CD₃ at 0-3000 K and at 1 atm were calcd. by statistical thermodn. methods from spectroscopic and other mol. consts. The rigid rotor harmonic oscillator model was used. Estd. uncertainties in the thermodn. properties due to uncertainties in the mol. properties and ests. of the effects of vibrational anharmonicities were reported for each compd. at 3 temps.

CD₃, CD₄,

C₂D₂, C₂D₄, C₂D₆,

CH₃N₂CH₃, CD₃N₂CD₃

CH₃

1983

100: 109360b Optimization of geometry of mono- and biradicals in the half-electron method. Nesterenko, A. M. (Inst. Org. Khim., Kiev, USSR). *Zh. Strukt. Khim.* 1983, 24(6), 106-9 (Russ). Geometry optimization by minimization of total energy was considered and anal. formulas were derived for calcn. of total energy gradients for mono- and biradicals within the half-electron method (M. J. S. Dewar et al., 1968). Theor. results for the mol. structure and heats of formation for CH₃, methylene, and vinyl radicals obtained by the MINDO/3 approxn. agree well with literature data.

*AfH,
смпукнрa,
neop. facieī*

(72)

c. A. 1984, 100, N 14

CH₂, buried pagwarr

CH₃(v)

Om. 211011

1984

Lossing F.P., Holmes J.L.,

J. Amer. Chem. Soc.,

1984, 106, 6917-6920.

Dsch.,
Debrecen

CH₃(?)

[Om. 20502]

1984

Nicholas A.M., Arnold DR

S.H., Dufey
Can. J. Chem., 1984, 62, N9,
1850 - 1859.

CH₃(2)

[om. 24603]

1985

Leroy F.,

"Adv. Quant. Chem. Vol. 17":

ΔfH, S; Orlando e.a. 1985, 1;
35-80; 91-95.

CH₃

[Om. 23060]

1985

heroy G.,

Bull. Soc. chim. Belg., 1985,
94, N 11-12, 945-989

DfH,

CH₃

[Om. 22042]

1985

$\Delta_f H$
(pacrem)

Pople J.A., Luke B.T.,
Frisch M.J., et al.,
J. Phys. Chem., 1985, 89,
N II, 2198-2203.

$\text{CH}_3^-(2)$ Oee&. 24622 1986

Ewig P.S., Van Wazer J.R.

$D_f H$; J. Phys. Chem., 1986, 90,
N18, 4360 - 4363.

Ugpann CH₃

1986

106: 91179m Compositions, enthalpies of dissociation, and heat capacities in the range 85 to 270 K for clathrate hydrates of methane, ethane, and propane, and enthalpy of dissociation of isobutane hydrate, as determined by a heat-flow calorimeter. Handa, Y. P. (Div. Chem., Natl. Res. Counc. Canada, Ottawa, ON Can. K1A 0R9). *J. Chem. Thermodyn.* 1986, 18(10), 915-21 (Eng). Compns., heats of dissociation, and heat capacities at 85-270 K were detd. for clathrate hydrates of methane, ethane, and propane by using a Tian-Calvet heat-flow calorimeter. The enthalpy of dissociation was also measured for isobutane hydrate. Molar heat-capacity contributions from the guests to their hydrates were comparable with the ideal-gas heat capacity for methane and somewhat higher for ethane and propane.

(P, SHgues.)

+2

⊗

Ugpann

C₂H₆

- - -

C₃H₈

C.A. 1987, 106, N/2

CH₃

(Om. 28440)

1987

Fliszár S., Minichino C.

(Δ_fH) Can. J. Chem., 1987,
65, N 10, 2495-2503.

CH₃

[ON. 30262]

1988

(AH₅, SB₅) Russell G.Y., Lectula J.A.,
Senkan S.M., et al.,

Int. J. Chem. Kinetics,

1988,

773.



20, N 10, 759-

CH₃

[Om. d 29716]

1988

Russell J.J., Seetula J.A.,
et al.,

(Kp)

J. Amer. Chem. Soc.,
1988, 110, N10, 3092 -
3099

CH₃

Lam 33872

1990

Kodama S.,

(115)

Bull. Chem. Soc. Jpn.,
1990, 63, N 3, 867-876

CH_3

1992

117: 35936w Mass spectroscopic study of methyl CH_3 radicals produced in a hollow cathode discharge cell. Sanz, M. M.; Abad, L.; Herrero, V. J.; Tanarro, I. (Inst. Estruct. Mater., CSIC, Madrid, Spain 28006). *J. Appl. Phys.* 1992, 71(11), 5372-5 (Eng). Neutral CH_3 radicals in a hollow cathode discharge cell contg. methane were detected with a quadrupole mass spectrometer, using the threshold ionization technique. With the exptl. conditions employed in this work the measured efficiency in CH_3 prodn. was 0.2%, which is higher than that shown for other types of discharges in the bibliog. On the other hand a high depletion of the CH_4 d. was obsd. and the mass spectrum of the discharge shows the appearance of compds. at $m = 25, 26$, and 27 , proceeding from recombination processes.

(MACCNEKMP.
UCARLIB.)

C. A. 1992, 117, N 4

CH_3

Deutsch H., Cornelissen C.,
et al.,
¹⁹⁹³

ропореные
сернице
ионизаций,

6

Int. J. Mass Spectrom. Ion
Processes 1993, 129, 143-8

(all.



CH_3^+)

1896

CH₃

16Б417. Константы равновесия и константы скорости реакций $RI \rightleftharpoons R + I$, $I + RI \rightleftharpoons I_2 + R$ ($R = CH_2Cl$, CH_2I) при 300—700К / Скоробогатов Г. А., Дымов Б. П., Недозрелова И. В. // Ж. общ. химии. — 1996. — 66, № 11. — С. 1834—1840. — Рус.

Методом изотермического пиролиза иодидов CH_2ClI и CH_2I_2 при 500—700К измерены константы равновесия

($K_{c,I} = k_I/k_{-I}$) и константы скорости реакций $RI \xrightleftharpoons[k_{-5}]{k_5} R + I$,

$I + RI \xrightleftharpoons[k_{-2}]{k_2} I_2 + R$ ($R = CH_2Cl$, CH_2I). Использование теорети-

ческой точки $K_{c,5}(T=\infty) = A_5$ позволило получить экспе-

рим. значения $\Delta E_5 = E_D^0(R—I)$ с погрешностью более низ-
кой, чем во всех пред. работах. Полная совокупность име-
ющихся результатов позволяет рекомендовать значения

$\Delta_f H_{298.15}^0 145.3 \pm 1.6$, 244 ± 5 и -467 ± 2 кДж/моль для ра-
дикалов CH₃, CH₂I и CF₃ соответственно.

B

(f2)

X. 1997, N 16

CH₂I, CF₃

CH₃

1997

ΔH_{combust}

128: 117099s High-precision calorimetry to determine the enthalpy of combustion of methane. Dale, Andrew; Lythall, Christopher; Aucott, John; Sayer, Courtney (Dep. Trade Industry, Leicester, UK). *PTB-Ber. ThEx - Phys.-Tech. Bundesanst.* 1997, (PTB-ThEx-1, Brennwertbestimmung von Gasen im geschaeflichen Verkehr), 55-67 (Eng). A high-precision, const.-pressure gas-burning calorimeter is previously presented was used to det. the combustion enthalpy of CH₄ at 25° which is the most important property used in the detn. of the calorific value of natural gas. A value of 890.61 kJ/mol with an uncertainty of 0.21 kJ/mol was obtained which is in good agreement with the value of 890.63 kJ/mol proposed in the draft ISO 6976.

C.A. 1998, 128, N10

CH₃

1998

Paddison, S.J.; et al.,

(AsH)

Jnt. J. Thermophys.
1998, 19(3), 719-730

(all. CH₃H; I)

CH₃

[Dm. 90420]

1999

Branko Ruscic* et al.,

No. J. Phys. Chem. 1999, 103
N43, 8625-33

CH₃

(Om. 40544)

2000

Jorma A. Seetula,

AsH,
ab initio
pacur

Phys. Chem. Chem. Phys.,
2000, 2, 3807-3812

2000

F: CH₃

P: 3

134:357966 Ionization Energy of Methylene Revisited: Improved Values for the Enthalpy of Formation of CH₂ and the Bond Dissociation Energy of CH₃ via Simultaneous Solution of the Local Thermochemical Network. [Erratum to document cited in CA131:314675]. Ruscic, Branko; Litorja, Maritoni; Asher, Robert L. Chemistry Division, Argonne National laboratory, Argonne, IL, USA. J. Phys. Chem. A (2000), 104(37), 8600. in English.

In both Table 3 and in the abstr., the value for the ionization energy of Me should read EI(CH₃) = 9.8380 ± 0.005 eV, rather than 9.3830 eV. Note that the value for this quantity, as cited and used elsewhere in the text and tables, in the thermochem. network, and implied by the resulting thermochem. values [e.g., the difference $\Delta H^\circ f(CH_3^+) - \Delta H^\circ f(CH_3)$] is correct.

CH₃OH

(+1)

2000

F: CH3OH, SiH3OH

P: 3

01.08-19Б1.52. Равновесная структура и функция вращательной потенциальной энергии метанола и силанола. The equilibrium structure and torsional potential energy function of methanol and silanol / Korut Jacek // J. Phys. Chem. A. - 2000. - 104, N 44. - С. 10017-10022. - Англ. Равновесная структура, спектроскопические константы, функции потенциальной энергии для внутреннего вращения и гармонические силовые поля молекул CH[3]OH и SiH[3]OH исследованы неэмпирическим методом связанных кластеров (CCSD (T)) с использованием базисов cc-pVnZ с n=2, T, Q, 5. Обсуждено влияние корреляции оставших электронов и колебаний небольшой амплитуды на рассчитанные молек. параметры.

F: CH3C2CH3

P: 3

2002

03.09-19Б1.42. Неэмпирические расчеты
барьера внутреннего вращения в молекуле
диметилацетилена / Фролов Ю. Л., Книжник
А. В. // Ж. структур. химии. - 2002.- 43, N 5. -
С. 922-924. - Рус.

Цель настоящей работы - оценить
возможности неэмпирических квантово-
химических расчетов при вычислениях

барьеров внутреннего вращения много
меньших kT. В качестве исследуемого
соединения выбран диметилацетилен (ДМА),
обладающий одним из самых малых
вращательных барьеров, известных в орг.-
химии. ДМА является "хрестоматийным"

примером практически свободного относительного внутреннего вращения метильных групп. В представленной работе проведены расчеты разности энергий склоненной ($D[3d]$) и заслоненной ($D[3h]$) конформаций молекулы DMA. Использован комплекс программ GAUSSIAN-94. Для оптимизации геометрии применялись методы HF, BLYP, B3LYP, MP2 и наборы базисных функций - от 6-31G(d) до 6-311G++(3df, 3p). Расчеты конформеров при замороженном торсионном угле выполнены с полной оптимизацией всех остальных геометрических параметров. Метод MP4 применялся для уточнения энергии конформеров, структура которых оптимизирована методом MP2. Библ.

2002

F: CH₃Li CLi₆

P: 3

03.09-19Б1.5. О природе C-Li-связывания в
литиированных углеводородах и
литиоуглеродных соединениях. On the nature
of C-Li bonding in lithiated hydrocarbons and
lithiocarbons / Ponec R., Roithova J., Girones X.,
Lain L., Torre A., Bochicchio R. // J. Phys. Chem.
A. - 2002. - 106, N 6. - С.1019-1025. - Англ.

Природа химических связей C-Li в CH[3]Li и
CLi[6] исследована с использованием
двух недавно предложенных теоретических

подходов - на основе анализа обобщенных заселенностей и анализа дырок Ферми. Расчеты проведены в неэмпирическом приближении Хартри-Фока с применением базиса 6-311G{**}. Библ.70.

СН₃OH

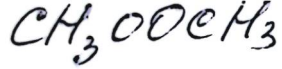
2002

F: СНЗОН
P: 3

03.07-19Б1.39. Природа предпочтительной скрещенной конформации метанола. Origin of staggered conformational preference in methanol / Pophristic Vojislava, Goodman Lionel // J. Phys. Chem. A. - 2002. - 106, N 8. - С. 1642-1646. -Англ.

В рамках модели Хартри-Фока исследована природа конформационной предпочтительности молекулы метанола. Показано, что сверхсопряжение между метильной и гидроксильной группой (т. е. вицинальная делокализация), а не

обменное отталкивание, как предполагалось ранее, ответственно за скрещенную равновесную конформацию молекулы. Библ. 23.



2002

F: CH_3OOCH_3

P: 3

03.07-19Б1.51. Торсионный потенциал диметилпероксида -
все еще трудноразрешимая проблема для теории. The
torsional potential of dimethyl peroxide: Still a difficult case for
theory / Tonmuphean Somsak, Parasuk Vudhichai, Karpfen
Alfred // J. Phys. Chem. A. - 2002. - 106, N 2. - С. 438-446. -
Англ.

Неэмпирические методы MP2, MP3, MP4 (SDQ), MP4
(SDTQ), CCSD, CCSD(T) и метод теории функционала
плотности (B3LYP, BLYP и PW91PW91) в различных
расширенных

базисах использованы для детального сравнительного
изучения торсионного потенциала относительно одинарной
химической связи О-О молекулы CH_3OOCH_3 , для

которой не удается достичь хорошего согласия между экспериментальными и теоретическими результатами, и двух других молекул - СН[3]ООН и НООН. Библ.70.



CH₃CO

2002

F: CH₃CO

P: 3

03.07-19Б1.213. Поляризованный инфракрасный спектр поглощения матрично-изолированного радикала метилпероксила CH[3]OO в состоянии X{2}A".

F: CH₃CO

F: CH₃CO

P: 3

03.07-19Б1.213. Поляризованный инфракрасный спектр поглощения матрично-изолированного радикала метилпероксила CH[3]OO в состоянии X{2}A". Polarized infrared absorption spectrum of matrix-isolated methylperoxyl radicals, CH[3]OO X {2}A" / Nandi Srēela, Blanksby Stéphén J.,

Zhang Xu,

Nimlos Mark R., Dayton David C., Ellison G. Barney // J. Phys. Chem. A. -2002. - 106, N 33. - С. 7547-7556. - Англ.

Описан синтез в матрицах из аргона при 20 К радикалов CH[3]OO по реакции CH[3]с O[2]. Импульсный пучок метильных радикалов производился при расширении

азометана через нагретое сопло, через второе сопло, открывающееся синхронно с первым, подавалась смесь аргона с кислородом. Оба газовых потока конденсировались на холодной подложке, продукты регистрировались по ИК-спектрам. Для интерпретации использовалось изотопозамещение по углероду, дейтерию и кислороду, а также поляризационные измерения. Зарегистрировано и отнесено 10 из 12 полос CH_3CO .

CH₃I

1999

F: CH₃I
P: 3

2Б174. ИК-Спектроскопия высокого разрешения полос фундаментальных колебаний {13}CH[3]I. High resolution infrared spectroscopy on the fundamental bands of {13}CH[3]I / Alanko Seppo // Acta univ. ouluen. A. - 1999. - 321. - С. 1-173. - Англ.

Рассмотрены основные аспекты колебательно-вращательной теории и ИК-спектроскопии полужестких молекул симметрии C[3v] и проиллюстрированы на примере молекулы {13}CH[3]I. Библ. 151.

C₂H₂

1996

F: C₂H₂

P: 3

01.08-19Б1.91. Спектральные свойства
"хаотического" ацетилена. Spectral
patterns of chaotic acetylene / Rose John P.,
Kellman Michael E. // J. Phys.
Chem. A. - 2000. - 104, N 45. - С. 10471-
10481. - Англ.

С использованием метода диабатической
корреляционной диаграммы, впервые
примененной для молекулы H[2]O (// J. Chem.
Phys. - 1996 . - 105 . - С. 7348),
исследованы особенности высокоэнергетического
спектра молекулы C[2]H[2],

моделируемого с помощью эффективного
спектроскопического гамильтониана.

CH₃NO₂

1299

F: CH₃NO₂

P: 3

01.08-1961.211. Динамика внутреннего вращения в молекуле нитрометана при низких температурах. Internal rotation dynamics of nitromethane at low temperatures /

Grosev Vlasta Mohacek, Stelzer Franz, Jocham Daniel // J. Mol. Struct. - 1999.

- 476, N 1-3. - С. 181-189. - Англ.

Изучены спектры КР нитрометана в интервале температур от комнатной до 15 К. В области предплавления (243-244 К) по спектральным и калориметрическим данным обнаружено образование мезо-фазы, промежуточной между устойчивым кристаллом и жидкостью и

представляющей собой, как минимум, упорядоченную слоистую структуру. На основании измерения температурной зависимости ширины линии симметричного валентного колебания группы CH[3] в интервале 15-235 К определен барьер внутреннего вращения в молекуле (интерпретированный как разность энергии между нулевым торсионным уровнем и максимумом барьера), который составил $25^{+ - } 1$ мэВ.

CH₃ OH

2001

F: CH3OH

P: 3

03.08-19B1.340. Фурье-спектры и инверсная
торсионная структура для
фундаментального деформационного колебания
группы CH[3] в CH[3]OH. Fourier
transform spectra and inverted torsional
structure for a CH[3]-bending fundamental of
CH[3]OH / Lees R. M., Xu Li-Hong,
Kristoffersen Anna K., Lock Michael,
Winnewisser B. P., Johns J. W. C. // Can. J.
Phys. - 2001. - 79, N 2-3. - С. 435-447. -
Англ.; рез. фр.

В области 1400-1650 см⁻¹ с высоким
разрешением получены ИК-фурье-спектры
поглощения CH[3]OH. Зарегистрированы переходы,

связанные с деформационным колебанием группы
CH[3] этой молекулы. Отмечена аномальная
картина торсионно-колебательных энергий для
низких значений K. Она оказалась инверсной
относительно обычной картины для торсионных
уровней с $n=0$, с согласии с недавними
теоретич. предсказаниями. Библ. 24. Т. А. III.

CH₃CON

2002

F: CH₃CON

P: $\overline{3}$

03.08-19Б1.263. Неэмпирическое изучение
поверхностей потенциальной энергии для
диссоциации CH[3]COCN в низколежащих
состояниях. An ab initio study of potential
energy surfaces of CH[3]COCN dissociation on
the low-lying states /Ding Wan-Jian, Fang Wei-
Hai, Liu Ruo-Zhuang // Chem. Phys. Lett. -
2002. -351, N 1-2. - C. 9-17. - Англ.

В рамках неэмпирического приближения
CAS(8,7)/cc-pVDZ исследован механизм
диссоциации CH[3]COCN на рассчитанных S[1]- и
T[1]-поверхностях потенциальной энергии.
Полученные результаты сопоставлены с
экспериментальными данными.